

5.3.3 Lokalisierung an visuellen Merkmalen

Idee:

- Basiere Lokalisierung auf visuellen statt geometrischen Umgebungsmerkmalen („Kamera statt Laserscanner“)
- Rechne Bewegung im Raum zurück aus der Rückprojektion korrespondierender Bildpunkte (wie in Stereobildern)

Vorteil:

- Bilder sind „flächig“ → Lokalisierung im 3D-Raum
- Für Menschen „natürlicher“ → leichter interpretierbar

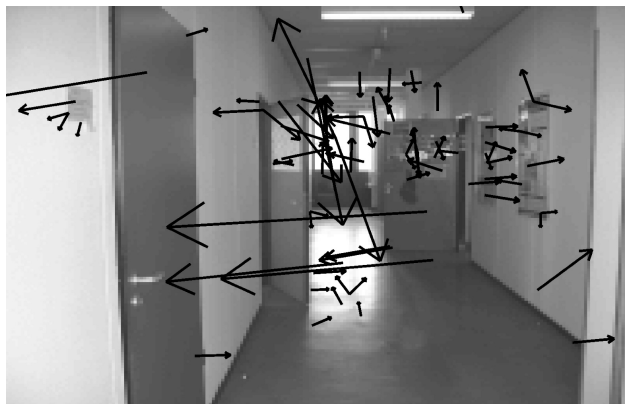
Problem:

- Korrespondenz von Bildpunkten in Echtzeit ermitteln
 - Varianz durch Beleuchtung und Bewegung (Größenänderung im Bild, optische Verzerrungen)
- SIFT-Merkmale (s. Kap. 3.2 – oder Harris, SURF, Censure, ...)

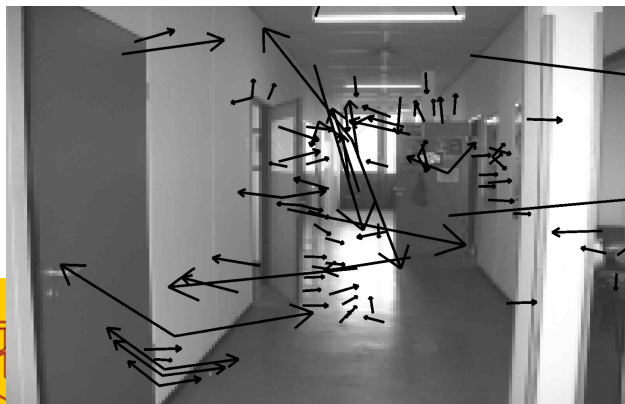
SIFT-Merkmale zur Roboter-Lokalisierung

Absolute L.: Karte enthält SIFT-Merkmale an ihren „wahren“ Orten. Berechne Pose durch Triangulation (in $x,y,z!$) mit korrespondierenden SIFT-Merkmalen aus aktuellem Bild

Relative L.: Rechne Poseänderung zurück mit Triangulation (in $x,y,z!$) korrespondierender SIFT-Merkmale aus letztem Bild



SIFT-Merkmale und Korrespondierende
nach Translation 50cm



zberg

5.3.4 Unimodale Probabilistische Lokalis.

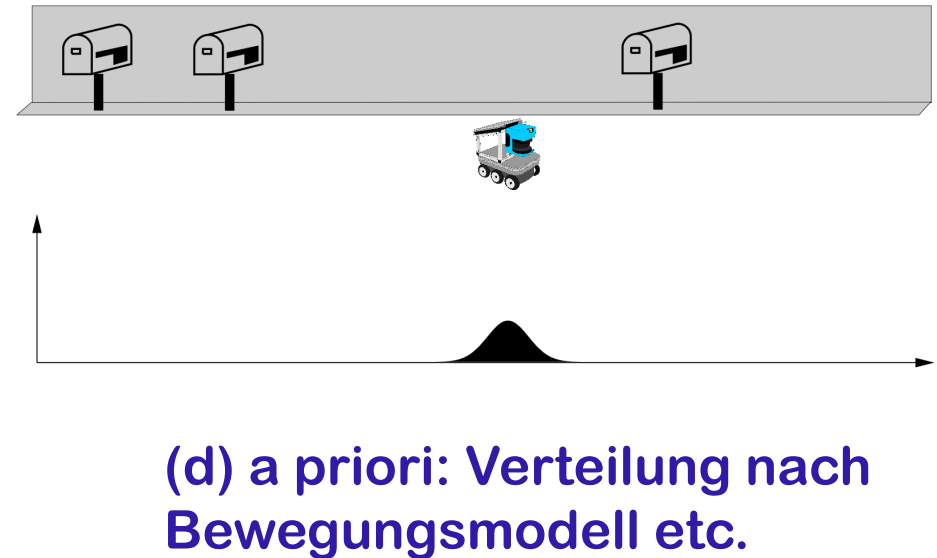
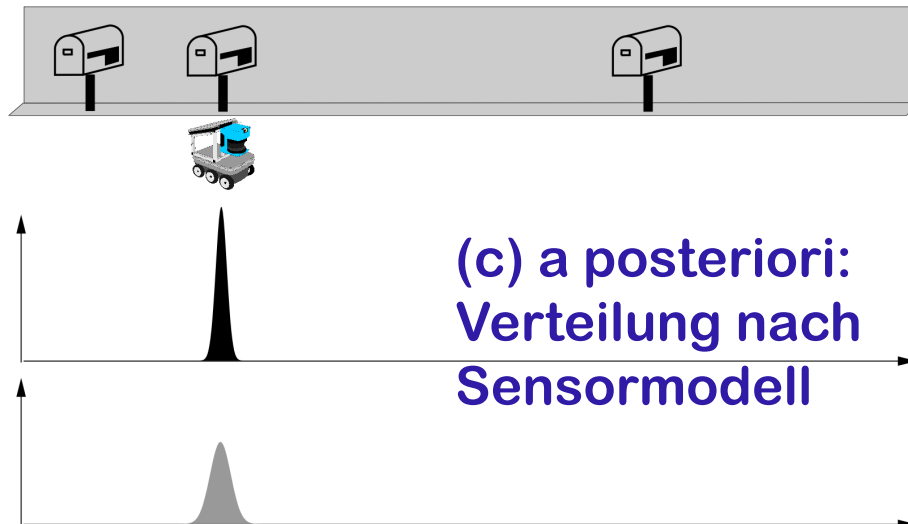
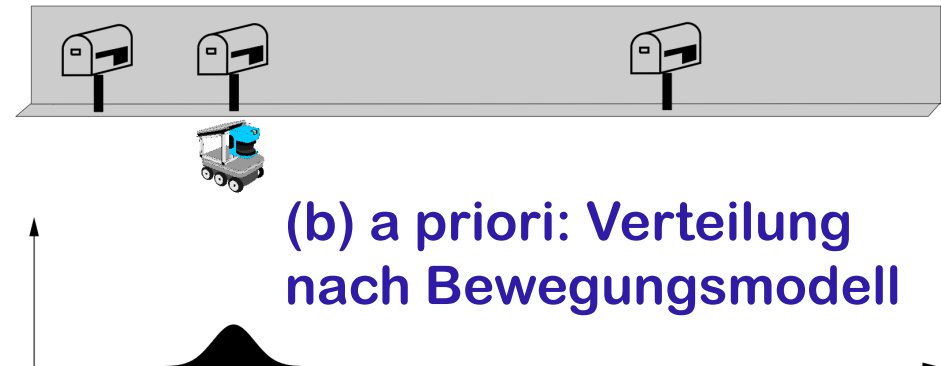
Ziel: Fusioniere 3D-Poseschätzung gemäß Vorwärtskinematik mit Korrekturwert aus Laserscan-Registrierung nach ICP

- Kartenlokalisierung verwendet echten Scan an aktueller Pose und simulierten Scan nach Karte an geschätzter Pose
- Derselbe Ansatz funktioniert ohne Karte mit zwei konsekutiven echten Scans

Ansatz: Modelliere mit EKF (s. Kalman-Folien):

- Zustandsvorhersage (\underline{x}_{t+1}) ergibt sich aus Poseschätzung
- Messwert z ist Registrierungs-Korrekturvektor (umgerechnet ins Roboter-Bezugssystem)

Unimodale (Kalman-) Lokalisierung: Schema



Erinnerung: KF, hier in EKF-Formulierung

s. Folie Kalman 19/20 (Algorithmus 4.3 im Buch):

F_t ersetzt A und B ; H wird zeitabhängig

Eingabe: Akt. Zustand \mathbf{x}_t , akt. Fehlermodell Σ_t , $e \in \{u, z\}$ an $t+1$

Ausgabe: Aktualisierte \mathbf{x}_{t+1} , Σ_{t+1}

globale Variablen: K_i , $\underline{\mathbf{x}}_i$, $\underline{\Sigma}_i$

if e ist Aktion u **then**

$$\underline{\mathbf{x}}_{t+1} := f(\mathbf{x}_t, u)$$

$$\underline{\Sigma}_{t+1} := F_{t+1} \Sigma_t F_{t+1}^T + \Sigma_u$$

else if e ist Messung z **then**

$$K_{t+1} := \underline{\Sigma}_{t+1} H_{t+1}^T (H_{t+1} \underline{\Sigma}_{t+1} H_{t+1}^T + \Sigma_z)^{-1}$$

$$\mathbf{x}_{t+1} := \underline{\mathbf{x}}_{t+1} + K_{t+1} (z - H_{t+1} \underline{\mathbf{x}}_{t+1})$$

$$\Sigma_{t+1} := (1 - K_{t+1} H_{t+1}) \underline{\Sigma}_{t+1}$$

return(\mathbf{x}_{t+1} , Σ_{t+1})

end if

Transitionsmodell (n.-lin.)

$$F_{t+1} = \left(F_{t+1}^{[i,j]} \right)_{i,j} = \frac{\partial f^{[i]}}{\partial u^{[j]}}(\mathbf{x}_t, \mathbf{u}_t)$$

Sensormodell (n.-lin.)

$$H_{t+1} = \left(H_{t+1}^{[i,j]} \right)_{i,j} = \frac{\partial h^{[i]}}{\partial x^{[j]}}(\underline{\mathbf{x}}_{t+1})$$

EKF-Ansatz Lokalisierung (1/5)

Werde Fahr-Aktion u aus Pose $\mathbf{x}_t = (x_t, z_t, \theta_t)^\top$ ausgeführt.

Vorwärtskinematik ergebe $u = (\Delta x_{\text{odo}}, \Delta z_{\text{odo}}, \Delta \theta_{\text{odo}})^\top$.

Zustandsschätzung \mathbf{x}_{t+1} gemäß Vorwärtskinematik:

$$\begin{aligned}\bar{\mathbf{x}}_{t+1} &= f(\mathbf{x}_t, \mathbf{u}) = \mathbf{x}_t + \mathbf{R}_{\theta_t} \mathbf{u} \\ &= \begin{pmatrix} x_t \\ z_t \\ \theta_t \end{pmatrix} + \begin{pmatrix} \cos \theta_t & \sin \theta_t & 0 \\ -\sin \theta_t & \cos \theta_t & 0 \\ 0 & 0 & 1 \end{pmatrix} \begin{pmatrix} \Delta x_{\text{odo}} \\ \Delta z_{\text{odo}} \\ \Delta \theta_{\text{odo}} \end{pmatrix} \\ &= \begin{pmatrix} x_t + \Delta x_{\text{odo}} \cos \theta_t + \Delta z_{\text{odo}} \sin \theta_t \\ z_t - \Delta x_{\text{odo}} \sin \theta_t + \Delta z_{\text{odo}} \cos \theta_t \\ \theta_t + \Delta \theta_{\text{odo}} \end{pmatrix} .\end{aligned}$$

EKF-Ansatz Lokalisierung (2/5)

Scanregistrierung ergebe Posedifferenz/Messung

$$z' = (\Delta x_{\text{ICP}}, \Delta z_{\text{ICP}}, \Delta \theta_{\text{ICP}})^T.$$

Lokale Messung muss in Referenzsystem umgerechnet werden
(analog Vorwärtskinematik-Wert):

$$\begin{aligned} z &= x_t + R_{\theta_t} z' \\ &= \begin{pmatrix} x_t \\ z_t \\ \theta_t \end{pmatrix} + \begin{pmatrix} \cos \theta_t & \sin \theta_t & 0 \\ -\sin \theta_t & \cos \theta_t & 0 \\ 0 & 0 & 1 \end{pmatrix} \begin{pmatrix} \Delta x_{\text{ICP}} \\ \Delta z_{\text{ICP}} \\ \Delta \theta_{\text{ICP}} \end{pmatrix} \\ &= \begin{pmatrix} x_t + \Delta x_{\text{ICP}} \cos \theta_t + \Delta z_{\text{ICP}} \sin \theta_t \\ z_t - \Delta x_{\text{ICP}} \sin \theta_t + \Delta z_{\text{ICP}} \cos \theta_t \\ \theta_t + \Delta \theta_{\text{ICP}} \end{pmatrix}. \end{aligned}$$

Dies ist
Vergleich
alter/neuer
Scan! Bei
Korrektur
nach simul.
Scan aus
Karte geh
aus von
Pose \underline{x}_{t+1}
statt \underline{x}_t !

EKF-Ansatz Lokalisierung (3/5)

Funktion h dient beim EKF dazu, Messungen in Zustandsraum zu transformieren.

Mess-Raum ist nach Umrechnungen ins globale Referenzsystem identisch mit Zustandsraum, daher ist h Identitätsfunktion:

$$h(\bar{\mathbf{x}}_{t+1}) = \begin{pmatrix} \bar{x}_{t+1} \\ \bar{z}_{t+1} \\ \bar{\theta}_{t+1} \end{pmatrix}$$

EKF-Ansatz Lokalisierung (4/5)

$$f(\underline{x}_t, \underline{u}) = \begin{pmatrix} x_t + \Delta x_{\text{odo}} \cos \theta_t + \Delta z_{\text{odo}} \sin \theta_t \\ z_t + \Delta x_{\text{odo}} \sin \theta_t - \Delta z_{\text{odo}} \cos \theta_t \\ \theta_t + \Delta \theta_{\text{odo}} \end{pmatrix} \quad h(\underline{x}_{t+1}) = \begin{pmatrix} \bar{x}_{t+1} \\ \bar{z}_{t+1} \\ \bar{\theta}_{t+1} \end{pmatrix}$$

$$\mathbf{F}_{t+1} = \left(\frac{\partial f^{[i]}}{\partial x^{[j]}}(\mathbf{x}_t, \mathbf{u}_t) \right)_{i,j} = \begin{pmatrix} 1 & 0 & -\Delta x_{\text{odo}} \sin \theta_t + \Delta z_{\text{odo}} \cos \theta_t \\ 0 & 1 & -\Delta x_{\text{odo}} \cos \theta_t - \Delta z_{\text{odo}} \sin \theta_t \\ 0 & 0 & 1 \end{pmatrix}$$

$$\mathbf{H}_{t+1} = \left(\frac{\partial h^{[i]}}{\partial \bar{x}^{[j]}}(\bar{\mathbf{x}}_{t+1}) \right)_{i,j} = \begin{pmatrix} 1 & 0 & 0 \\ 0 & 1 & 0 \\ 0 & 0 & 1 \end{pmatrix}.$$

EKF-Ansatz Lokalisierung (5/5)

Kovarianzmatrizen für Aktionen und Messungen:

$$\Sigma_u = \begin{pmatrix} \sigma_{u,1}^2 & 0 & 0 \\ 0 & \sigma_{u,2}^2 & 0 \\ 0 & 0 & \sigma_{u,3}^2 \end{pmatrix} \quad \Sigma_z = \begin{pmatrix} \sigma_{z,1}^2 & 0 & 0 \\ 0 & \sigma_{z,2}^2 & 0 \\ 0 & 0 & \sigma_{z,3}^2 \end{pmatrix}$$

Die σ repräsentieren die Unsicherheit des Kinematik- und des Sensormodells → empirisch ermitteln oder schätzen

- Kinematikmodell okay für Translation, schwach für Rotation; also z.B. $\sigma_{u,1}=0.1$, $\sigma_{u,2}=0.2$, $\sigma_{u,3}=0.8$
- ICP-Registrierung okay bei x,z ; besser als Kinematik bei Rotation, also z.B. $\sigma_{z,1}=0.3$, $\sigma_{z,2}=0.3$, $\sigma_{z,3}=0.4$

EKF-Rechenbeispiel

... zum Nachvollziehen gemäß Kalmanfilter (EKF)-Algorithmus.
Hier nur 1 Bewegung, 1 Messung; mehr im Buch, Beispiel 5.3

Sei $\mathbf{x}_0 = (0\text{cm}, 0\text{cm}, 0^\circ)^\top$;

Odometrie gemäß Vorwärtskinematik ergebe

$\mathbf{u} = (0.25\text{cm}, 22.21\text{cm}, 0.65^\circ)^\top$.

→ $\underline{\mathbf{x}}_1 = f(\mathbf{x}_0, \mathbf{u}) = (0.25, 22.21, 0.65)^\top$ (ist gleich Δ_{Odo} , da $\mathbf{x}_0 = (0,0,0)^\top$)

→ $\bar{\Sigma}_1 = \begin{pmatrix} 0.01 & 0 & 0 \\ 0 & 0.04 & 0 \\ 0 & 0 & 0.64 \end{pmatrix} \quad \mathbf{K}_1 = \begin{pmatrix} 0.1 & 0 & 0 \\ 0 & 0.31 & 0 \\ 0 & 0 & 0.8 \end{pmatrix}$

Aus ICP-Registrierung folge $\mathbf{z} = (-1.98\text{cm}, 20.23\text{cm}, 1.2^\circ)$

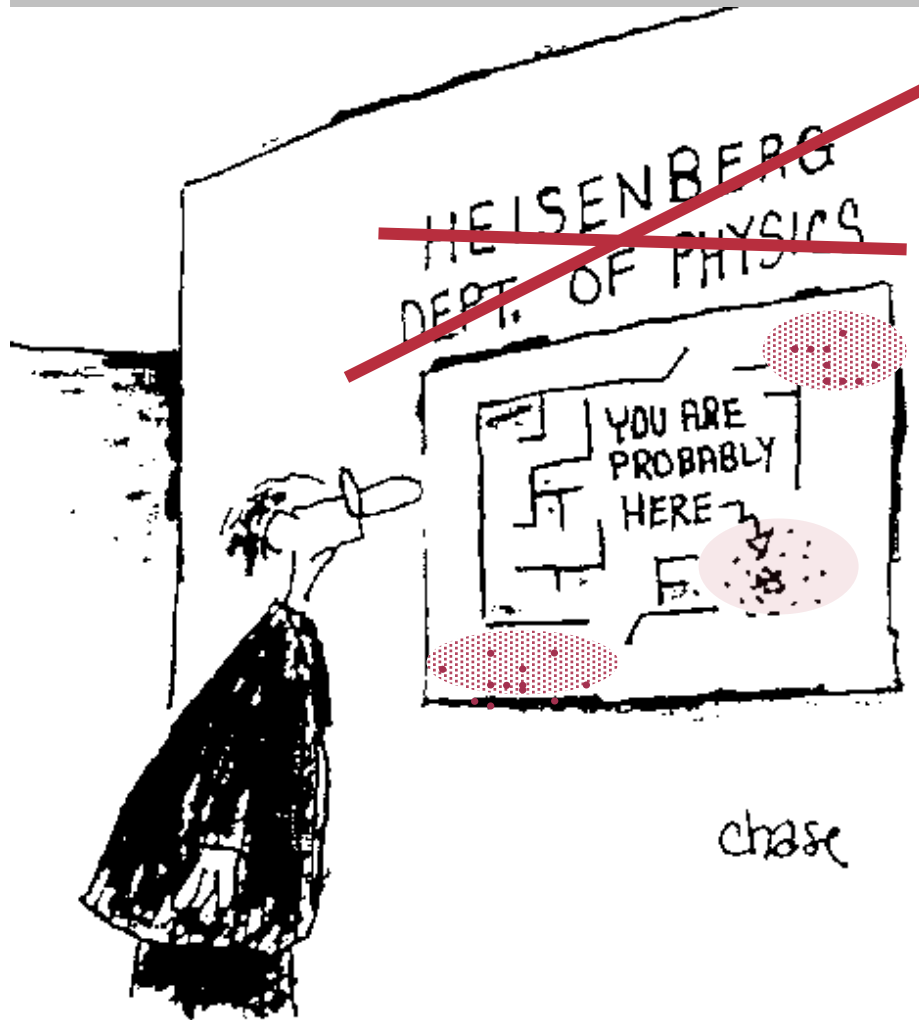
→ Ergebnis $\mathbf{x}_1 = (0.029, 21.61, 1.09)^\top$ mit Unsicherheit

$$\Sigma_1 = \begin{pmatrix} 0.009 & 0 & 0 \\ 0 & 0.028 & 0 \\ 0 & 0 & 0.128 \end{pmatrix}$$

Fazit Unimodale Lokalisierungsverfahren

- Bisher beschriebene Verfahren funktionieren unimodal, d.h. berechnen 1 neue a-posteriori-Pose (bzw. Hypothese)
- Grundlage ist praktisch immer die Poseschätzung gemäß Vorwärtskinematik (ggf. mit Verbesserungen, wie gehabt)
- Die meisten (Ausnahme: HAYAI) können als Modell-Datensatz Daten aus einer Roboterkarte oder aus einer früheren Sensormessung verwenden (absolute oder relative Lokalisierung)
- Unbekannte Startpose ist nicht behandelbar
- Geht die Pose einmal verloren, kann sie praktisch nicht mehr wiedergefunden werden: *Kidnapped Robot Problem*, aber auch (realistisch) Fahrt in merkmalsarmen Regionen

5.3.5 Markow-Lokalisierung

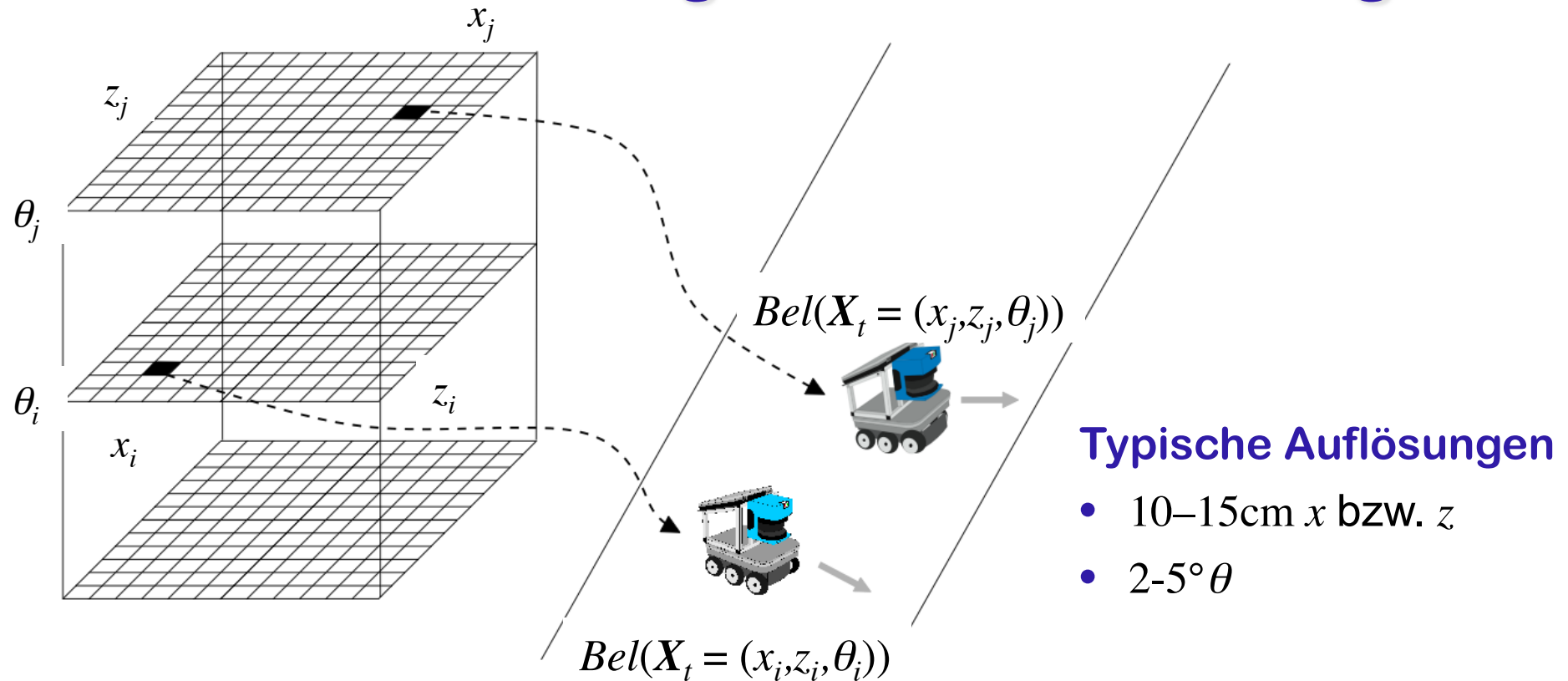


MARKOW DEPT. OF ROBOTICS

Interpretiere Pose als
Zufallsvariable über
 $[X, Z, \theta]^T$ -Poseraum
(multimodal verteilt);

Aktionen & Messungen
bilden W' -verteilungen in
 W' -verteilungen ab

Diskretisierung der Poseverteilung



- Geh aus von Raster-Belegungskarte (hier uniformes Raster)
- Jede Rasterzelle liegt in Kopien diskreter Orientierung vor
- Pose ist W'verteilung $\mathbf{P}(\mathbf{X} = (x, z, \theta))$

Bayes-Filter zur Lokalisierung

Markow-Lokalisierung ist die (naive) Anwendung des multimodalen Bayes-Filters aufs Lokalisierungsproblem

Erinnerung: Allgemeiner Bayes-Filter (Folie 162)

$$\mathbf{P}(\mathbf{X}_{t+1} | \mathbf{e}_{1:t+1}) = \eta \cdot \mathbf{P}(\mathbf{e}_{t+1} | \mathbf{X}_{t+1}) \cdot \int_{\mathbf{x}_t} [\mathbf{P}(\mathbf{X}_{t+1} | \mathbf{x}_t) \cdot P(\mathbf{x}_t | \mathbf{e}_{1:t})]$$

Erinnerung: Spezieller Bayes-Filter (Handeln/Messen) (F. 164)

$$Bel(\mathbf{X}_{t+1}) = \eta \cdot \mathbf{P}(\mathbf{Z}_{t+1} | \mathbf{X}_{t+1}) \sum_{x_t} \mathbf{P}(\mathbf{X}_{t+1} | \mathbf{X}_t, \mathbf{u}_{t+1}) \cdot Bel(\mathbf{X}_t)$$

Sensormodell,
a-posteriori-Pose

Aktionsmodell,
a-priori-Pose

Spezieller Bayes-Filter: Idee

Voraussetzung: Roboterhandeln wird beschrieben als Folge von **abwechselnd** Aktion und Zustandsmessung. Gegeben Start-Zustandsschätzung (Poseverteilung)

1. Führe Aktion aus
2. **Prädiktion:** Schätze resultierenden Zustand für Aktion (**a-priori-Zustandsschätzung**)

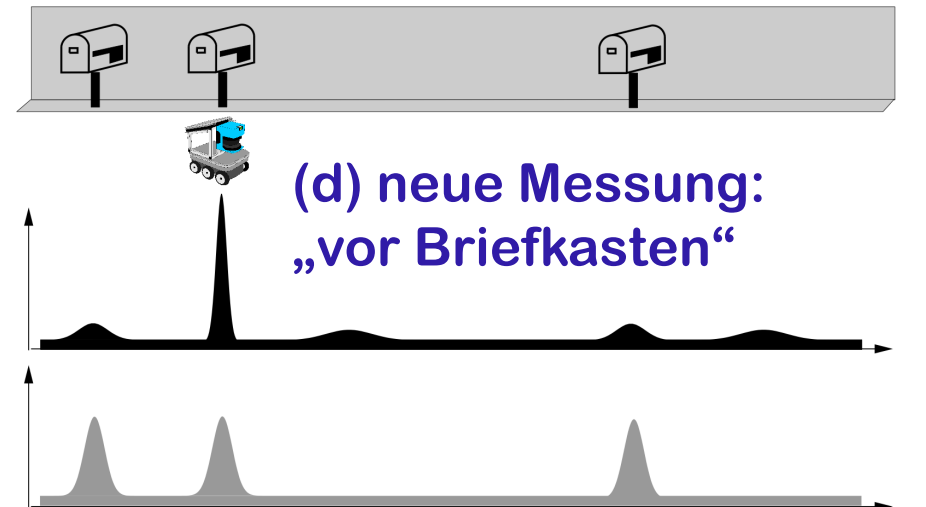
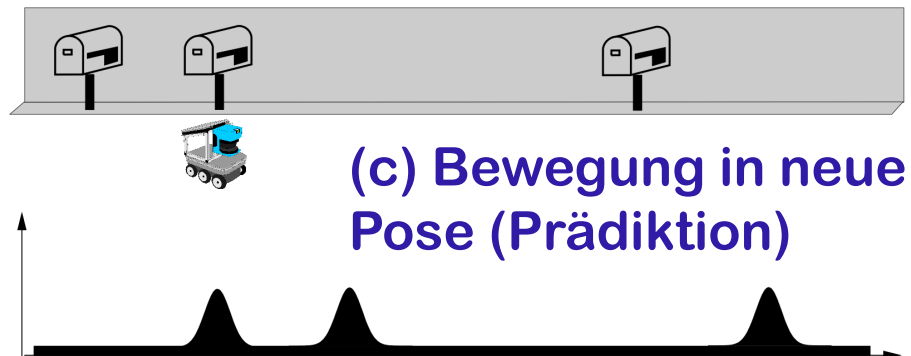
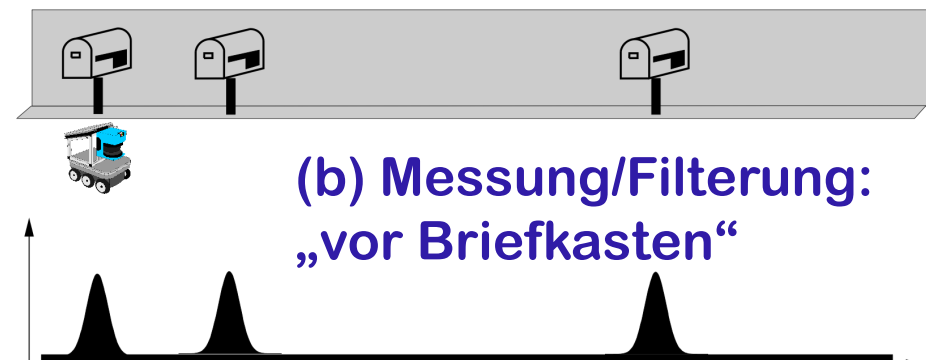
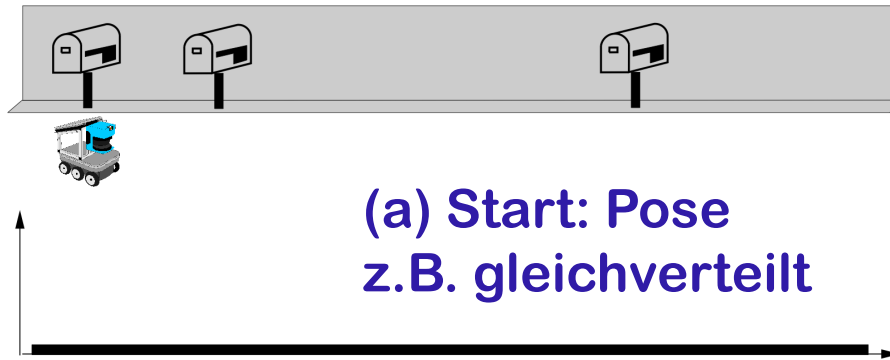
$$\overline{Bel}(\mathbf{X}_{t+1}) = \sum_{\mathbf{X}_t} P(\mathbf{X}_{t+1} | \mathbf{u}_{t+1}, \mathbf{X}_t) \cdot Bel(\mathbf{X}_t)$$

3. Miss resultierenden Zustand
4. **Filterung:** berechne aktuelle Zustandsverteilung, die maximal gut zu allen Messungen und der Vorhersage passt (**a-posteriori-Zustandsschätzung**); weiter bei 1.

$$Bel(\mathbf{X}_{t+1}) = \eta P(\mathbf{Z}_{t+1} | \mathbf{X}_{t+1}) \cdot \overline{Bel}(\mathbf{X}_{t+1})$$

1D-Beispiel, quasi-kontinuierlich

vgl. Folie 247!



Naive Markow-Lokalisierung ist naiv!

- Umgebungen interessanter Größe ergeben Verteilungen von nicht handhabbarer Größe!
(20m × 50m bei 10 cm und 3,6° Auflösung → 10^8 Posen!)
 - Auflösung verringern verwäscht die Lokalisierung
- So geht es nur für kleine Umgebungen!

Warum soll man eigentlich unsichere Information bis ins letzte Detail präzise durchrechnen?